

Lembar Pengesahan

TUGAS AKHIR

**ANALISIS PONDASI DANGKAL PADA
TEPI ATAS TANAH LERENG**

Disusun oleh:

Nama : M.SIRRIL WAFA
No. Mhs. : 95310156
NIRM : 950051013114120154

Nama : EL GHARIF H.A
No. Mhs. : 93310074
NIRM : 930051013114120073

Telah diperiksa dan disetujui oleh :

HOMIEN

Tanggal 10/5/03

Syandri

Tanggal

10/5/03

LEMBAR PERSEMBAHAN

Tugas akhir ini kami persembahkan untuk :

Orang tuaku sebagai wujud bhakti dari penulis

Kakak-kakakku

Teman-teman Cempaka 15, Yayan, Idhoet, Ipunk Smolik, Adi Rimba, Erlan Maldini, Mojes, Didiet, Jawak, Teddy

Para Alumni Cempaka 15, Agung, Rafit, Donny, Bello, Memed

Rekan-rekan kerja, Wawan, Penjol

Teman-teman Malaka, Anto, Hafidz, Mila, Aam, Richoe, Babeh, Jeplits

Dan semua teman yang tidak bisa disebutkan satu persatu.

Terima Kasih atas semua bantuan dan dukungannya, baik fisik maupun non fisik, yang tiada terhingga artinya.

| | |
|--|----|
| 2.5.3 Faktor-faktor Penyebab Terjadinya Longsoran..... | 23 |
| 2.5.4 Metode Analisis Stabilitas Lereng..... | 24 |
| 2.6. Stabilitas Lereng dengan Tinggi Tebatas..... | 33 |
| 2.7. <i>MRSSlope</i> | 36 |
| 2.7.1. <i>Input</i> Data | 36 |
| 2.7.2. <i>Ouput</i> Data | 37 |
| 2.8. Lapisan Geotekstil..... | 39 |
| 2.8.1. Pengertian dan Jenis Geotekstil..... | 39 |
| 2.8.2. Fungsi Geotekstil..... | 40 |

BAB III METODE PENELITIAN

| | |
|------------------------------------|----|
| 3.1 Tahap Persiapan..... | 42 |
| 3.2 Tahap Analisis..... | 42 |
| 3.3 Pembahasan dan Kesimpulan..... | 42 |

BAB IV ANALISIS DAN PEMBAHASAN

| | |
|--|----|
| 4.1 Data Perencanaan..... | 44 |
| 4.2 Analisis Stabilitas Lereng dengan Metode Irisan (Fellinius)..... | 44 |
| 4.2.1 Sudut Kemiringan Lereng 15° | 44 |
| 4.2.2 Sudut Kemiringan Lereng 30° | 46 |
| 4.2.3 Sudut Kemiringan Lereng 45° | 48 |
| 4.2.4 Sudut Kemiringan Lereng 60° | 50 |
| 4.3 Analisis Pondasi Dangkal..... | 52 |
| 4.3.1 Menghitung Beban Air..... | 52 |
| 4.3.2 Menghitung Dimensi Pondasi..... | 53 |

| | |
|--|----|
| 4.4 Analisis Stabilitas Lereng dengan Diberi Beban dengan Metode Irisan (Fellenius)..... | 55 |
| 4.4.1 Sudut Kemiringan Lereng 15° | 55 |
| 4.4.2 Sudut Kemiringan Lereng 30° | 57 |
| 4.4.3 Sudut Kemiringan Lereng 45° | 58 |
| 4.4.4 Sudut Kemiringan Lereng 60° | 60 |
| 4.5 Desain Perkuatan Lereng dengan Geotekstil..... | 62 |
| 4.5.1 Tegangan Lateral Akibat Beban Titik..... | 62 |
| 4.5.2 Perencanaan Lapisan Geotekstil Pada Tanah Miring dengan Sudut Lereng 45° dengan Diberi Beban..... | 64 |
| 4.5.3 Perencanaan Lapisan Geotekstil Pada Tanah Miring dengan Sudut Lereng 60° | 69 |
| 4.5.4 Perencanaan Lapisan Geotekstil Pada Tanah Miring dengan Sudut Lereng 60° dengan Diberi Beban..... | 72 |
| BAB V KESIMPULAN DAN SARAN | |
| 5.1 Kesimpulan..... | 76 |
| 5.2 Saran..... | 77 |
| DAFTAR PUSTAKA..... | 78 |
| LAMPIRAN | |

| | |
|--|----|
| 4.12 Perencanaan lapisan Geotekstil pada tanah miring sudut 45° | 65 |
| 4.13 Perencanaan jarak geotekstil..... | 68 |
| 4.14 Perencanaan lapisan Geotekstil pada tanah miring sudut 60° | 69 |
| 4.15 Perencanaan jarak geotekstil sudut 60° | 71 |
| 4.16 Perencanaan lapisan Geotekstil pada tanah miring sudut 60° dengan diberi beban..... | 73 |

DAFTAR TABEL

| | |
|--|----|
| 2.1 Nilai n, e, w, γ_d , dan γ_b untuk tanah keadaan asli lapangan | 16 |
| 4.1 Perhitungan stabilitas lereng dengan sudut 15° | 46 |
| 4.2 Perhitungan stabilitas lereng dengan sudut 30° | 48 |
| 4.3 Perhitungan stabilitas lereng dengan sudut 45° | 50 |
| 4.4 Perhitungan stabilitas lereng dengan sudut 60° | 51 |
| 4.5 <i>Bearing Capacity Factors</i> | 53 |
| 4.6 Perhitungan stabilitas lereng dengan sudut 15° | 56 |
| 4.7 Perhitungan stabilitas lereng dengan sudut 30° | 58 |
| 4.8 Perhitungan stabilitas lereng dengan sudut 45° | 60 |
| 4.9 Perhitungan stabilitas lereng dengan sudut 60° | 62 |
| 4.10 Perhitungan perkuatan lereng dengan geoteksil sudut 45° dengan diberi beban | 67 |
| 4.11 Perhitungan perkuatan lereng dengan geotekstil sudut 60° | 71 |
| 4.12 Perhitungan perkuatan lereng dengan geotekstil sudut 60° dengan diberi beban | 75 |

ABSTRAKSI

Dalam merencanakan konstruksi bangunan teknik sipil, ditemukan berbagai kondisi alam yang berbeda-beda, diantaranya adalah daerah lereng yaitu lahan dengan perbedaan elevasi tanah yang cukup besar, sehingga dituntut untuk merencanakan tipe pondasi yang cocok dan aman, agar bahaya longsor dapat dihindari. Dengan demikian diharapkan akan didapatkan data batas-batas keamanan stabilitas lereng dengan beban pondasi dangkal, dan akan memberi masukan rekayasa konstruksi tentang pondasi dangkal pada tanah lereng.

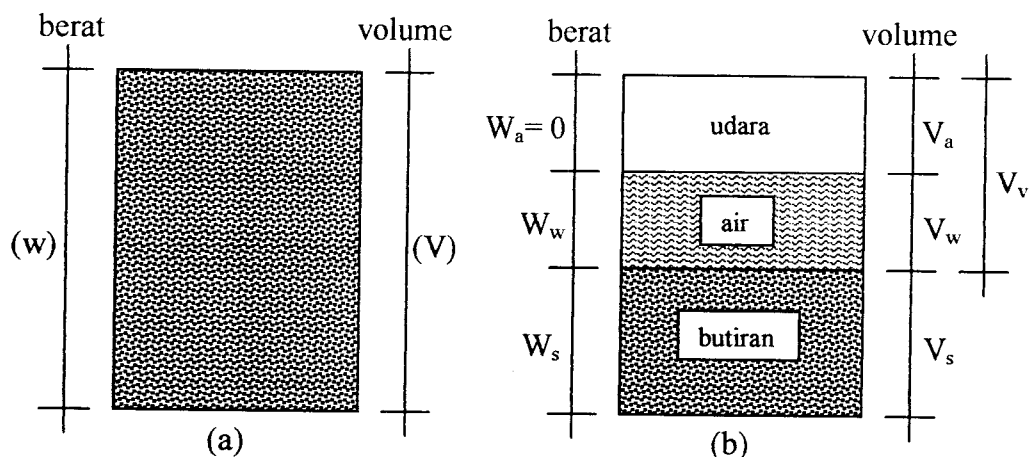
Konstruksi bangunan yang dipilih adalah menara air yang ukurannya ditentukan, dengan menggunakan pondasi dangkal, pada daerah lereng homogen, tinggi 6 meter, muka air tanah sedalam 2 meter, dengan 4 sudut kemiringan 15° , 30° , 45° dan 60° . Dari data-data yang ada lereng dianalisis dalam kondisi asli tanpa diberi beban bangunan, kemudian lereng dianalisis dengan diberi beban bangunan, analisis tersebut menggunakan program MRSSlope untuk mencari jari-jarinya dan manual menggunakan metode irisan berdasarkan cara Fellinius untuk mencari angka keamanannya. Pada sudut kemiringan 15° , 30° , 45° tanpa diberi beban, dan sudut kemiringan 15° , 30° dengan diberi beban lereng aman, sedang pada sudut 60° tanpa beban dan sudut 45° , 60° dengan diberi beban lereng akan diberi perkuatan tanah berupa lapisan geotekstil Woven Multitex, yaitu geotekstil yang ditenun dalam pembuatannya, sehingga akan didapatkan bangunan yang aman dari bahaya longsor.

Berdasarkan analisis, kemiringan lereng dan pembebanan akan mempengaruhi angka keamanan lereng terhadap bahaya longsor. Pada sudut kemiringan 15° , 30° , 45° tanpa beban lereng aman terhadap longsor, sedang pada sudut 60° tanpa beban lereng tidak aman. Pondasi bujur sangkar dengan $B = 0,4\text{ m}$ aman mendukung beban menara air dengan $P = 2,224\text{ T}$. Pada sudut kemiringan 15° , 30° dengan beban struktur, lereng aman, sedang pada sudut 45° , 60° dengan beban struktur lereng tidak aman. Lapisan geotekstil Woven Multitex dengan tegangan tarik ijin sebesar 4,01 ton, memberikan perkuatan tanah yang cukup sehingga pada sudut 60° tanpa beban, dan sudut 45° , 60° dengan beban, struktur lereng aman terhadap longsor.

- b. Penurunan pondasi harus masih dalam batas-batas nilai yang ditoleransikan. Khususnya penurunan yang tidak sama harus tidak mengakibatkan kerusakan pada strukturnya.

2.2 Berat Volume Tanah dan Hubungan-hubungannya

Bagian-bagian tanah dapat digambarkan dalam bentuk diagram fase, seperti yang ditunjukkan pada Gambar 2.3.



Gambar 2.3 Diagram fase tanah
 (Sumber : Hardiyatmo, HC, Mekanika Tanah 1, 1992)

Gambar 2.3a memperlihatkan elemen tanah yang mempunyai volume V dan berat total W , sedang Gambar 2.3b memperlihatkan hubungan berat dan volumenya. Dari gambar tersebut dapat dibentuk persamaan berikut :

$$W = W_s + W_w \dots \quad (2.6)$$

(sumber : Hardiyatmo, HC, Mekanika Tanah 1, 1992)

dan

$$V = V_s + V_w + V_a \dots \quad (2.7)$$

(sumber : Hardiyatmo, HC, Mekanika Tanah 1, 1992)

d. Untuk tanah kering sempurna

$$\gamma_d = \frac{G_s \gamma_w}{1 + w} \dots \dots \dots \dots \dots \dots \dots \dots \quad (2.22)$$

(sumber : Hardiyatmo, HC, Mekanika Tanah 1, 1992)

e. Bila tanah terendam air

$$\gamma' = \frac{(G_s - 1)\gamma_w}{1 + e} \dots \dots \dots \dots \dots \dots \dots \dots \quad (2.23)$$

(sumber : Hardiyatmo, HC, Mekanika Tanah 1, 1992)

$$\gamma' = \gamma_{sat} - \gamma_w \dots \dots \dots \dots \dots \dots \dots \dots \quad (2.24)$$

(sumber : Hardiyatmo, HC, Mekanika Tanah 1, 1992)

dengan :

γ' = berat volume tanah terendam air

Nilai-nilai porositas, angka pori dan berat volume pada keadaan asli di alam dari berbagai jenis tanah, diberikan pada tabel 2.1.

Tabel 2.1 Nilai n,e,w, γ_d , dan γ_b untuk tanah keadaan asli lapangan

| Macam tanah | n (%) | e | w (%) | γ_d (gr/cm ³) | γ_b (gr/cm ³) |
|--------------------------------------|----------|------|----------|-------------------------------------|-------------------------------------|
| Pasir seragam, tidak padat | 46 | 0,85 | 32 | 1,43 | 1,89 |
| Pasir seragam, padat | 34 | 0,51 | 19 | 1,75 | 2,09 |
| Pasir berbutir campuran, tidak padat | 40 | 0,67 | 25 | 1,59 | 1,99 |
| Pasir berbutir campuran, padat | 30 | 0,43 | 16 | 1,86 | 2,16 |
| Lempung lunak sedikit organik | 66 | 1,90 | 70 | - | 1,58 |
| Lempung lunak sangat organik | 75 | 3,0 | 110 | - | 1,43 |

(sumber : Terzaghi, 1947 dikutip dari Hardiyatmo, HC, Mekanika Tanah 1, 1992)

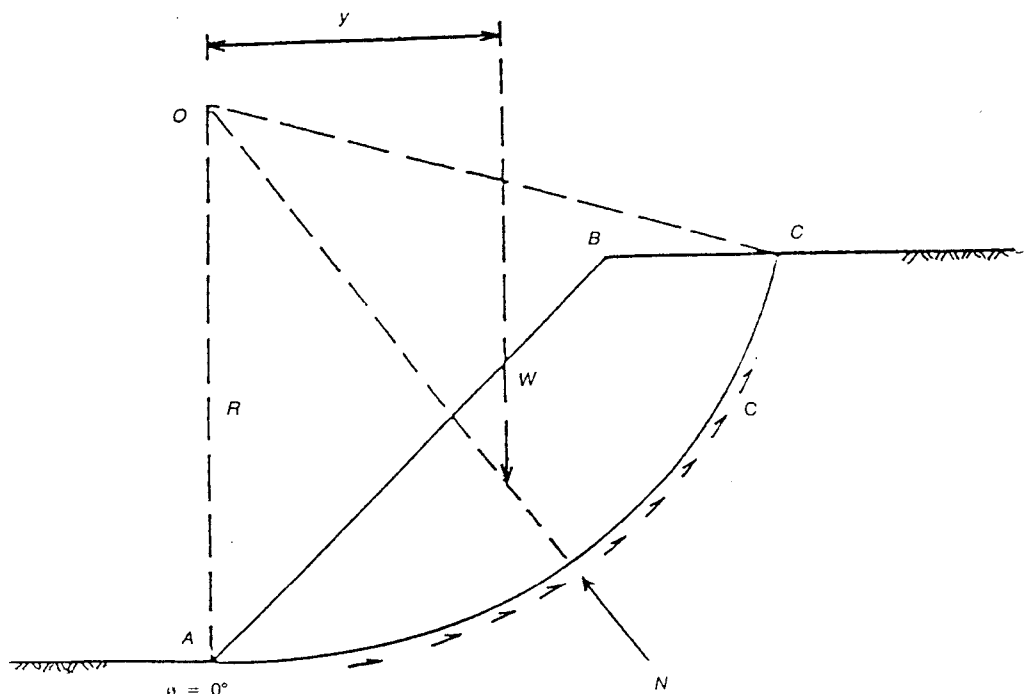
$$F = \frac{\sum M_r}{\sum M_d} \quad \dots \dots \dots \quad (2.26)$$

(sumber : Hardiyatmo, HC, Mekanika Tanah 2, 1994)

dengan :

M_r = jumlah momen yang menahan (tm)

M_d = jumlah momen yang menggerakkan (tm)



Gambar 2.5 Analisis stabilitas lereng tanah lempung tanpa pengaruh rembesan

(sumber : Hardiyatmo, HC, Mekanika Tanah 2, 1994)

atau

$$F = \frac{RcL_{AC}}{Wy} \quad \dots \dots \dots \quad (2.27)$$

(sumber : Hardiyatmo, HC, Mekanika Tanah 2, 1994)

dengan :

$$\tau = \frac{c'}{F} + (\sigma - u) \frac{\operatorname{tg}\phi'}{F} \quad \dots \dots \dots \dots \dots \dots \dots \quad (2.34)$$

(sumber : Hardiyatmo, HC, Mekanika Tanah 2, 1994)

dengan :

σ = tegangan normal total pada bidang longsor

u = tekanan air pori, untuk irisan ke-i

Nilai $T_i = \tau a_i$, yaitu nilai gaya geser yang berkembang pada bidang longsor untuk

keseimbangan batas, karena itu :

$$T_i = \frac{c'a_i}{F} + (N_i - u_i a_i) \frac{\operatorname{tg}\phi'}{F} \quad \dots \dots \dots \dots \dots \dots \dots \quad (2.35)$$

Kondisi keseimbangan momen terhadap pusat rotasi O antara berat massa tanah yang akan longsor dengan gaya geser total pada bidang longsornya dapat dinyatakan oleh (gambar 2.7) :

$$\sum W_i x_i = \sum T_i R \quad \dots \dots \dots \dots \dots \dots \dots \quad (2.36)$$

dengan x_i adalah jarak W_i ke pusat rotasi O. dari persamaan (2.34) dan (2.36) dapat diperoleh :

$$F = \frac{R \sum_{i=1}^{i=n} [c'a_i + (N_i - u_i a_i) \operatorname{tg}\phi']}{\sum_{i=1}^{i=n} W_i x_i} \quad \dots \dots \dots \dots \dots \dots \dots \quad (2.37)$$

Dari kondisi keseimbangan vertikal, jika $X_1 = X_i$ dan $X_r = X_{i+1}$:

$$N_i \cos \theta_i + T_i \sin \theta_i = W_i + X_i - X_{i+1}$$

$$N_i = \frac{W_i + X_i - X_{i+1} - T_i \sin \theta_i}{\cos \theta_i} \quad \dots \dots \dots \dots \dots \dots \dots \quad (2.38)$$

b_i = lebar irisan ke-i

W_i = berat irisan tanah ke-i

θ_i = sudut yang didefinisikan dalam gambar 2.7

u_i = tekanan air pori pada irisan ke-i

Persamaan faktor aman Bishop ini lebih sulit pemakaiannya dibandingkan dengan metode Fellinius. Lagi pula membutuhkan cara coba-coba (*trial and error*), Karena nilai faktor aman F nampak di kedua sisi persamaannya. Akan tetapi cara ini telah terbukti memberikan nilai faktor aman yang mendekati nilai faktor aman dari hitungan yang telah dilakukan dengan cara lain yang lebih teliti. Lokasi lingkaran longsor kritis dari metode Bishop (1955), biasanya mendekati dengan hasil pengamatan di lapangan. Karena itu, walaupun metode Fellinius lebih mudah, metode Bishop lebih disukai karena menghasilkan penyelesaian yang lebih teliti (Hardiyatmo, HC, Mekanika Tanah 2, 1994).

2.6 Stabilitas Lereng dengan Tinggi Terbatas

Pengamatan longsoran lereng yang dilakukan oleh Collin (1846), menunjukkan bahwa kebanyakan peristiwa longsoran tanah terjadi dengan bentuk bidang longsor yang berupa lengkungan. Sebab terjadinya longsoran adalah karena tidak tersedianya kuat geser tanah yang cukup untuk menahan tanah longsor ke bawah, pada bidang longsornya.

Metode yang digunakan dalam analisis stabilitas lereng menggunakan cara Fellinius. Analisis stabilitas lereng cara Fellinius (1927), menganggap gaya-gaya yang bekerja pada sisi kanan-kiri dari sembarang irisan mempunyai resultan nol pada

sedang untuk tebal lapisan kedua adalah selisih dari tinggi lereng dikurangi dengan tebal lapisan pertama.

3. Keadaan muka air tanah

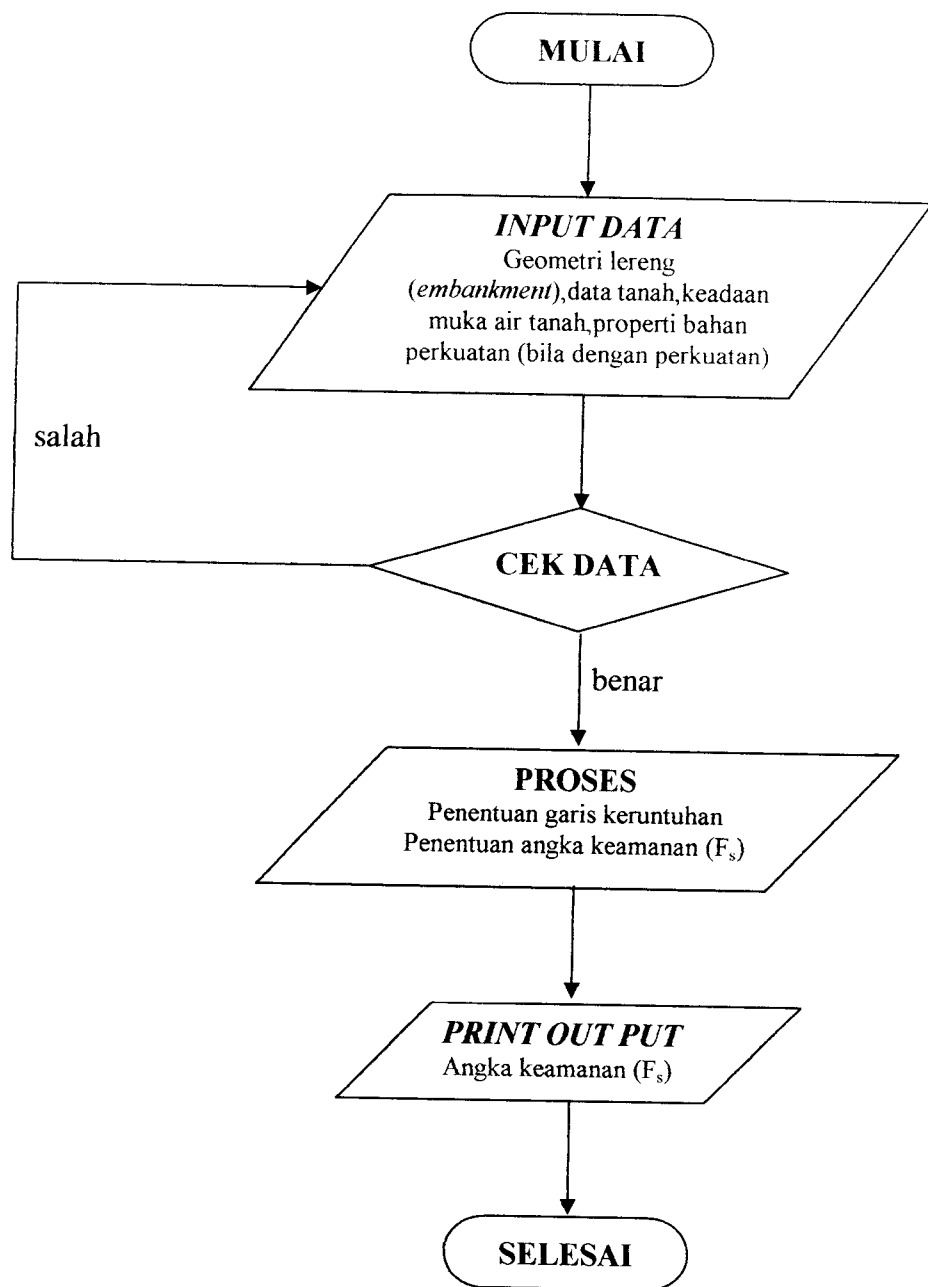
Muka air tanah hanya bisa pada lereng saja, dengan ketinggian muka air dari 0,00 (muka tanah asli) hingga maksimum setinggi lereng yang didesain.

4. Properti bahan perkuatan

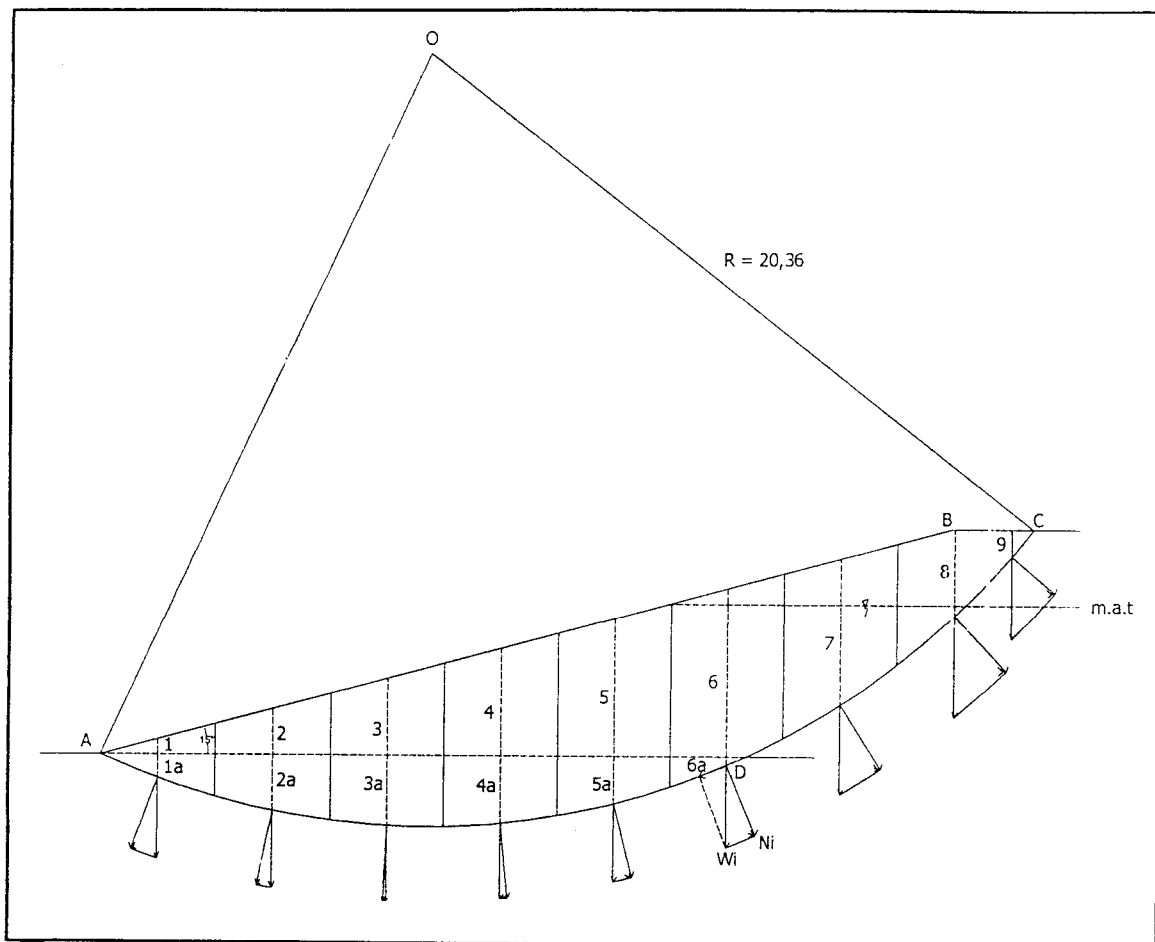
Apabila kita mendesain lereng dengan menggunakan perkuatan geotekstil maka kita membutuhkan properti dari geotekstil yang kita pakai tersebut, seperti kuat tarik ijin geotekstil, panjang perkuatan geotekstil dan tebal lapisan perkuatan.

2.7.2 *Output Data*

Setelah semua data yang diperlukan dimasukkan, maka *MRSSlope* akan mengolah data tersebut dan menghasilkan gambar garis keruntuhan dan angka keamanan dari lereng yang telah didesain. *Print output* dari *MRSSlope* berupa data dari lereng serta angka keamanan saja. *MRSSlope* juga telah memberikan angka keamanan yang paling minimal, tetapi angka keamanan yang lebih kecil dari 0 ($F_s < 0$) tidak dapat keluar pada *print output* *MRSSlope* tersebut.



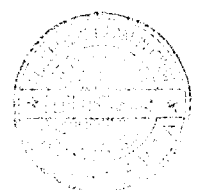
Gambar 2.8 Bagan alir *MRSSlope*

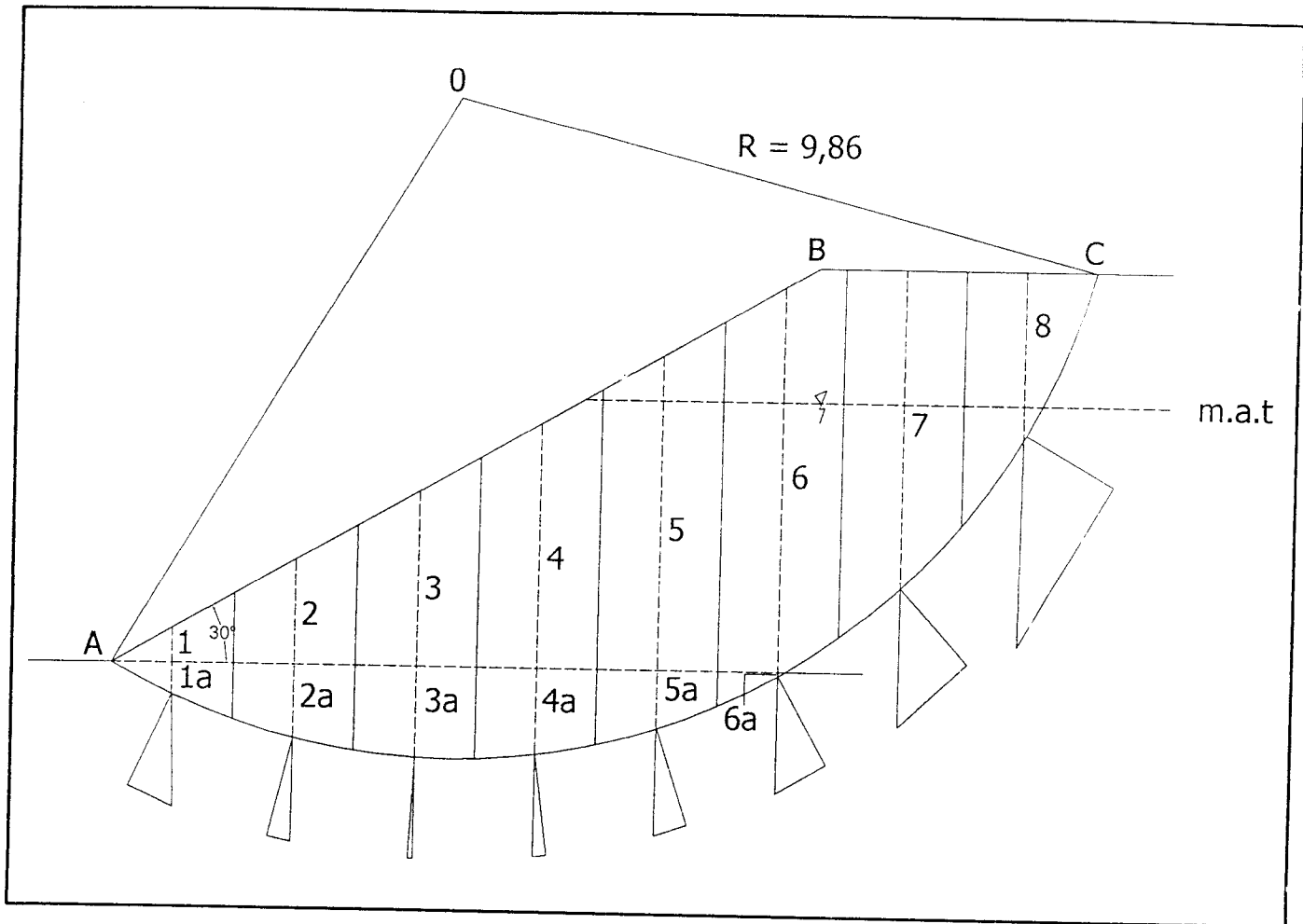


Gambar 4.1 Garis keruntuhan kritis dengan sudut 15°

Perhitungan berat $W_i = \text{volume irisan} \times \text{berat volume tanah } (\gamma)$ sedang untuk tanah yang terendam air perhitungan berat $W_i = \text{volume irisan} \times \text{berat volume tanah terendam air } (\gamma')$.

Perhitungan berat air (u_i) = $\text{volume irisan terendam air} \times \text{berat volume air } (\gamma_w)$, dengan $\gamma_w = 9,81 \text{ kN/m}^3$.





Gambar 4.2 Garis keruntuhan kritis dengan sudut 30°

Perhitungan berat W_i = volume irisan x berat volume tanah (γ) sedang untuk tanah yang terendam air perhitungan berat W_i = volume irisan x berat volume tanah terendam air (γ').

Perhitungan berat air (u_i) = volume irisan terendam air x berat volume air (γ_w), dengan $\gamma_w = 9,81 \text{ kN/m}^3$.

Perhitungan selanjutnya dipresentasikan dalam tabel 4.2.

Tabel 4.2 Perhitungan stabilitas lereng dengan sudut 30°

| Irisan no | Berat Wi (KN) | Sudut θ | $Wi \cos \theta$ (KN) | $Wi \sin \theta$ (KN) | ui (KN) | ai | $Ui = ui \times ai$ | $Wi \cos \theta - Ui$ |
|-----------|---------------|----------------|-----------------------|-----------------------|-----------|------|---------------------|-----------------------|
| 1 | 17.460 | -25.0 | 15.824 | -7.379 | 2.453 | 1.80 | 4.415 | 11.410 |
| 2 | 55.872 | -13.0 | 54.440 | -12.568 | 7.848 | 1.80 | 14.126 | 40.314 |
| 3 | 90.792 | -2.5 | 90.706 | -3.960 | 12.753 | 1.80 | 22.955 | 67.750 |
| 4 | 125.712 | 8.0 | 124.489 | 17.496 | 17.658 | 1.80 | 31.784 | 92.704 |
| 5 | 164.124 | 19.0 | 155.182 | 53.434 | 19.620 | 1.80 | 35.316 | 119.866 |
| 6 | 181.584 | 30.5 | 156.458 | 92.161 | 19.620 | 1.80 | 35.316 | 121.142 |
| 7 | 238.271 | 45.0 | 168.483 | 168.483 | 12.550 | 2.67 | 33.509 | 134.975 |
| 8 | 169.613 | 63.5 | 75.681 | 151.793 | 0.000 | 3.96 | 0.000 | 75.681 |
| 1a | 15.365 | -25.0 | 13.925 | -6.494 | 1.962 | 1.98 | 3.885 | 10.041 |
| 2a | 42.253 | -13.0 | 41.170 | -9.505 | 5.397 | 1.98 | 10.686 | 30.484 |
| 3a | 49.935 | -2.5 | 49.887 | -2.178 | 6.377 | 1.98 | 12.625 | 37.262 |
| 4a | 48.015 | 8.0 | 47.548 | 6.682 | 6.130 | 1.98 | 12.137 | 35.410 |
| 5a | 30.729 | 19.0 | 29.055 | 10.004 | 3.920 | 1.98 | 7.762 | 21.293 |
| 6a | 4.365 | 30.5 | 3.761 | 2.215 | 1.105 | 0.99 | 1.094 | 2.667 |
| | | | 1026.609 | 369.670 | | | | 800.999 |

$$F = \frac{[(1.4 \times 18.24) + (800.999 \times \tan 37)]}{369.67} = 1.702$$

4.2.3 Sudut Kemiringan Lereng 45°

$$\text{Panjang } \overline{AC} = \frac{\angle AOC}{360} \times 2\pi R = \frac{84}{360} \times 2\pi \times 10.44 = 15.3 \text{ m}$$

Perhitungan kemantapan lereng dilakukan dengan jari-jari garis keruntuhan kritis disesuaikan dengan perhitungan hasil program *MRSSlope*, seperti pada gambar 4.3.

Tabel 4.3 Perhitungan stabilitas lereng dengan sudut 45°

| Irisan no | Berat Wi (KN) | Sudut θ | $Wi \cos \theta$ (KN) | $Wi \sin \theta$ (KN) | ui (KN) | ai | $Ui = ui \times ai$ | $Wi \cos \theta - Ui$ |
|-----------|---------------|----------------|-----------------------|-----------------------|-----------|------|---------------------|-----------------------|
| 1 | 24.832 | -11.00 | 24.376 | -4.738 | 3.924 | 1.60 | 6.278 | 18.097 |
| 2 | 74.496 | -3.00 | 74.394 | -3.899 | 11.770 | 1.60 | 18.832 | 55.562 |
| 3 | 127.264 | 6.00 | 126.567 | 13.303 | 20.111 | 1.60 | 32.177 | 94.390 |
| 4 | 184.532 | 16.00 | 177.384 | 50.864 | 19.620 | 1.64 | 32.177 | 145.207 |
| 5 | 171.806 | 26.00 | 154.418 | 75.315 | 16.675 | 1.64 | 27.347 | 127.071 |
| 6 | 174.600 | 36.00 | 141.254 | 102.627 | 12.260 | 2.00 | 24.520 | 116.734 |
| 7 | 142.532 | 49.00 | 93.509 | 107.570 | 5.396 | 2.37 | 12.777 | 80.733 |
| 8 | 49.265 | 61.00 | 23.884 | 43.088 | 0.000 | 2.31 | 0.000 | 23.884 |
| 1a | 6.363 | -11.00 | 6.246 | -1.214 | 0.981 | 1.64 | 1.609 | 4.637 |
| 2a | 12.726 | -3.00 | 12.709 | -0.666 | 1.962 | 1.64 | 3.218 | 9.491 |
| 3a | 12.726 | 6.00 | 12.656 | 1.330 | 1.962 | 1.64 | 3.218 | 9.439 |
| 4a | 1.649 | 16.00 | 1.585 | 0.455 | 0.385 | 0.82 | 0.316 | 1.269 |
| | | | 848.982 | 357.395 | | | | 686.515 |

$$F = \frac{[(1.4 \times 15.3) + (686.515 \times \tan 37)]}{357.395} = 1.51$$

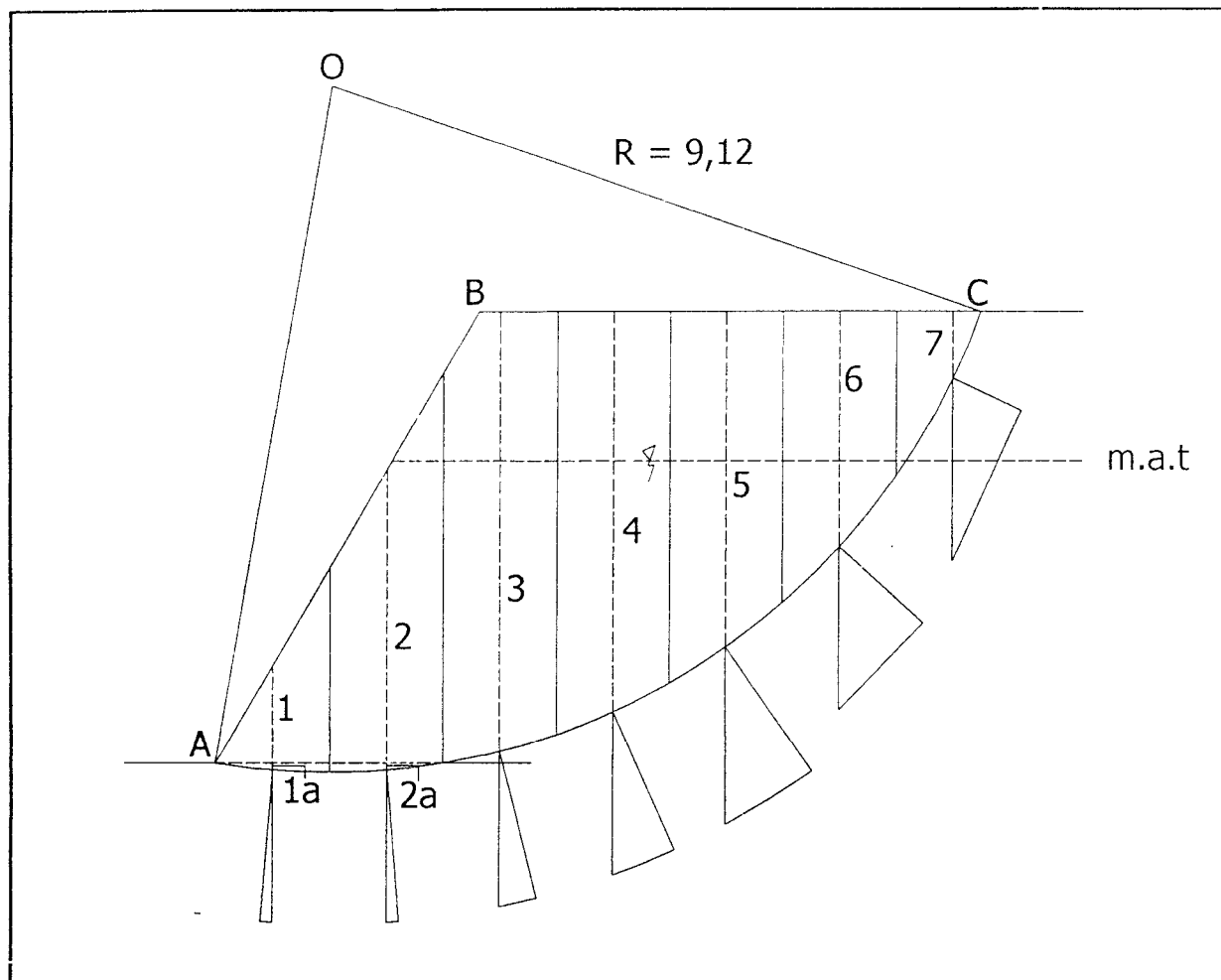
4.2.4 Sudut Kemiringan Lereng 60°

$$\text{Panjang } \overline{AC} = \frac{\angle AOC}{360} \times 2\pi R = \frac{80}{360} \times 2\pi \times 9.12 = 13.05 \text{ m}$$

Perhitungan kemantapan lereng dilakukan dengan jari-jari garis keruntuhan kritis disesuaikan dengan perhitungan hasil program *MRSSlope*, seperti pada gambar 4.4.

Perhitungan berat Wi = volume irisan x berat volume tanah (γ) sedang untuk tanah yang terendam air perhitungan berat Wi = volume irisan x berat volume tanah terendam air (γ').

Perhitungan berat air (ui) = volume irisan terendam air x berat volume air (γ_w), dengan $\gamma_w = 9,81 \text{ kN/m}^3$.

Gambar 4.4 Garis keruntuhan kritis dengan sudut 60°

Perhitungan selanjutnya dipresentasikan dalam tabel 4.4.

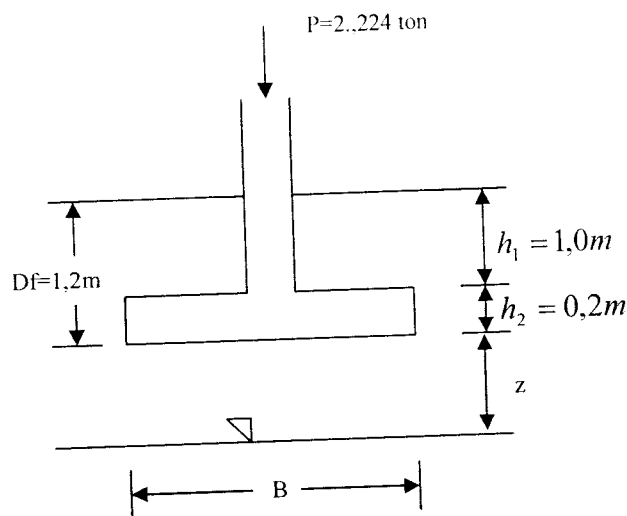
Tabel 4.4 Perhitungan stabilitas lereng dengan sudut 60°

| Irisan no | Berat W_i (KN) | Sudut θ | $W_i \cos \theta$ (KN) | $W_i \sin \theta$ (KN) | u_i (KN) | a_i | $U_i = u_i \times a_i$ | $W_i \cos \theta - U_i$ |
|-----------|------------------|----------------|------------------------|------------------------|------------|-------|------------------------|-------------------------|
| 1 | 37.830 | -5.00 | 37.686 | -3.297 | 6.377 | 1.50 | 9.565 | 28.121 |
| 2 | 113.490 | 4.00 | 113.214 | 7.917 | 19.130 | 1.50 | 28.695 | 84.519 |
| 3 | 181.990 | 14.50 | 176.193 | 45.567 | 19.130 | 1.59 | 30.417 | 145.776 |
| 4 | 166.568 | 25.00 | 150.962 | 70.395 | 16.675 | 1.59 | 26.513 | 124.449 |
| 5 | 170.448 | 35.00 | 139.623 | 97.765 | 12.750 | 1.91 | 24.353 | 115.270 |
| 6 | 138.430 | 49.00 | 90.818 | 104.474 | 5.885 | 2.23 | 13.124 | 77.695 |
| 7 | 73.330 | 62.50 | 33.860 | 65.045 | 0.000 | 2.70 | 0.000 | 33.860 |
| 1a | 4.394 | -5.00 | 4.377 | -0.383 | 0.735 | 1.51 | 1.110 | 3.267 |
| 2a | 5.859 | 4.00 | 5.845 | 0.409 | 0.980 | 1.51 | 1.480 | 4.365 |
| | | | 752.578 | 369.049 | | | | 617.322 |

$$F = \frac{[(1.4 \times 13.05) + (617.322 \times \tan 37)]}{369.049} = 1.32$$

Beban yang didukung pondasi (P) = $P_{bak} + P_w + P_k = 1,104 + 0,64 + 0,48 = 2,224$ ton

4.3.2 Menghitung Dimensi Pondasi



Gambar 4.6 Pondasi Telapak

Dengan data tanah :

$$\gamma_b = 1,94 \text{ t/m}^3 \quad c = 1,4 \text{ t/m}^2$$

$$\gamma_{bt} = 2,4 \text{ t/m}^3 \quad \phi = 37^\circ$$

Tabel 4.5 Faktor daya dukung untuk persamaan Terzaghi

| ϕ | N_c | N_q | N_y | K_{py} |
|--------|-------|-------|-------|----------|
| 34 | 52.6 | 36.5 | 36 | |
| 35 | 57.8 | 41.4 | 42.4 | 82.0 |
| 40 | 95.7 | 81.3 | 100.4 | 141.0 |
| 45 | 172.3 | 173.3 | 297.5 | 298.0 |
| 48 | 258.3 | 287.9 | 780.1 | |

(sumber : Bowles, JE, Analisis dan Desain Pondasi, 1991)

Dari hasil interpolasi Tabel 4.5, Didapat :

$$N_q = 57,36 ; N_c = 72,96 ; N_\gamma = 65,6$$

$$p_o = \gamma_b D_f = 1,94 \times 1,2 = 2,328 \text{ t/m}^2$$

$$\gamma' = \frac{(G_s - 1)\gamma_w}{1 + e} = \frac{(2,66 - 1)1}{1 + 0,75} = 0,95 \text{ t/m}^3$$

$$\gamma_n = \gamma' + \left(\frac{z}{B} \right) (\gamma_b - \gamma') = 0,95 + \left(\frac{0,8}{B} \right) (1,94 - 0,95)$$

$$\gamma_n = 0,95 + \frac{0,792}{B}$$

Dengan memakai persamaan Terzaghi dan keruntuhan geser umum maka :

$$q_{un} = 1,3cN_c + p_o(N_q - 1) + 0,4\gamma_n BN_\gamma$$

$$q_{un} = 1,3 \cdot 1,4 \cdot 72,96 + 2,328(57,36 - 1) + 0,4(0,95 + \frac{0,792}{B})B \cdot 65,6$$

$$q_{un} = 147,1 + 14,93B$$

$$\frac{q_{un}}{3} = q_n$$

$$\frac{1}{3}(147,1 + 14,93B) = \frac{2,224}{B^2} + (1,2 \cdot 1,94)$$

$$49,03 + 4,98B = \frac{2,224}{B^2} + 2,328$$

$$4,98B^3 + 46,782B^2 - 2,224 = 0$$

Didapat B = 0,85 m

Kontrol Stabilitas

$$q_s = \frac{q_{un}}{3} + D_f \gamma$$

$$q_s = \frac{1}{3}(147,1 + 14,93 \cdot 0,85) + 1,2 \cdot 1,94 = 55,592 \text{ t/m}^2$$

$$\sigma_{yid} = \frac{P}{A} + D_f \gamma_b = \frac{2,224}{0,85 \times 0,85} + 1,2 \cdot 1,94 = 5,406 \text{ t/m}^2 < q_s \text{ (aman)}$$

Perhitungan berat $W_i = \text{volume irisan} \times \text{berat volume tanah} (\gamma)$ sedang untuk tanah yang terendam air perhitungan berat $W_i = \text{volume irisan} \times \text{berat volume tanah terendam air} (\gamma')$.

Perhitungan berat air (u_i) = volume irisan terendam air x berat volume air (γ_w), dengan $\gamma_w = 9,81 \text{ kN/m}^3$.

Perhitungan selanjutnya dipresentasikan dalam tabel 4.6.

Tabel 4.6 Perhitungan stabilitas lereng dengan sudut 15°

| Irisan no | Berat W_i (Ton) | Sudut θ | $W_i \cos \theta$ (Ton) | $W_i \sin \theta$ (Ton) | u_i (Ton) | a_i | $U_i = u_i \times a_i$ | $W_i \cos \theta - U_i$ |
|-----------|-------------------|----------------|-------------------------|-------------------------|-------------|-------|------------------------|-------------------------|
| 1 | 3.492 | -20 | 3.281 | -1.194 | 0.9 | 3.0 | 2.7 | 0.581 |
| 2 | 6.984 | -12 | 6.831 | -1.452 | 1.8 | 3.0 | 5.4 | 1.431 |
| 3 | 12.804 | -3 | 12.786 | -0.670 | 3.3 | 3.0 | 9.9 | 2.886 |
| 4 | 17.460 | 6 | 17.360 | 1.825 | 4.5 | 3.0 | 13.5 | 3.86 |
| 5 | 22.116 | 15 | 21.360 | 5.724 | 5.7 | 3.0 | 17.1 | 4.26 |
| 6 | 26.772 | 23 | 24.630 | 10.461 | 6.3 | 3.15 | 19.845 | 4.785 |
| 7 | 23.280 | 34 | 19.299 | 13.018 | 4.2 | 3.198 | 14.43 | 4.869 |
| 8 | 14.100 | 44 | 10.143 | 9.795 | 0.3 | 3.91 | 1.773 | 8.970 |
| 9 | 3.254 | 51 | 2.048 | 2.529 | 0 | 0.888 | 0 | 2.048 |
| | | | | | | | | |
| 1a | 4.074 | -20 | 3.828 | -1.393 | 1.05 | 3.198 | 3.36 | 0.468 |
| 2a | 8.148 | -12 | 7.970 | -1.694 | 2.1 | 3.198 | 6.71 | 1.26 |
| 3a | 10.476 | -3 | 10.462 | -0.548 | 2.7 | 3.198 | 8.63 | 1.832 |
| 4a | 10.476 | 6 | 10.418 | 1.095 | 2.7 | 3.198 | 8.63 | 1.832 |
| 5a | 6.984 | 15 | 6.746 | 1.807 | 1.8 | 3.198 | 5.756 | 0.99 |
| 6a | 1.764 | 23 | 1.607 | 0.689 | 0.45 | 2.3 | 1.035 | 0.572 |
| | | | 158.769 | 42.371 | | | | 40.644 |

Perhitungan berat $W_i = \text{volume irisan} \times \text{berat volume tanah} (\gamma)$ sedang untuk tanah yang terendam air perhitungan berat $W_i = \text{volume irisan} \times \text{berat volume tanah terendam air} (\gamma')$.

Perhitungan berat air (u_i) = volume irisan terendam air \times berat volume air (γ_w), dengan $\gamma_w = 9,81 \text{ kN/m}^3$.

Perhitungan selanjutnya dipresentasikan dalam tabel 4.7.

Tabel 4.7 Perhitungan stabilitas lereng dengan sudut 30°

| Irisan no | Berat W_i (KN) | Sudut θ | $W_i \cos \theta$ (KN) | $W_i \sin \theta$ (KN) | u_i (KN) | a_i | $U_i = u_i \times a_i$ | $W_i \cos \theta - U_i$ |
|-----------|---------------------|----------------|---------------------------|---------------------------|---------------|-------|------------------------|-------------------------|
| 1 | 17.460 | -25.0 | 15.824 | -7.379 | 2.453 | 1.80 | 4.415 | 11.410 |
| 2 | 55.872 | -13.0 | 54.440 | -12.568 | 7.848 | 1.80 | 14.126 | 40.314 |
| 3 | 90.792 | -2.5 | 90.706 | -3.960 | 12.753 | 1.80 | 22.955 | 67.750 |
| 4 | 125.712 | 8.0 | 124.489 | 17.496 | 17.658 | 1.80 | 31.784 | 92.704 |
| 5 | 164.124 | 19.0 | 155.182 | 53.434 | 19.620 | 1.80 | 35.316 | 119.866 |
| 6 | 181.584 | 30.5 | 156.458 | 92.161 | 19.620 | 1.80 | 35.316 | 121.142 |
| 7 | 249.791 | 45.0 | 176.029 | 176.029 | 12.550 | 2.67 | 33.509 | 143.120 |
| 8 | 194.968 | 63.5 | 86.994 | 174.484 | 0.000 | 3.96 | 0.000 | 86.994 |
| 1a | 15.365 | -25.0 | 13.925 | -6.494 | 1.962 | 1.98 | 3.885 | 10.041 |
| 2a | 42.253 | -13.0 | 41.170 | -9.505 | 5.397 | 1.98 | 10.686 | 30.484 |
| 3a | 49.935 | -2.5 | 49.887 | -2.178 | 6.377 | 1.98 | 12.625 | 37.262 |
| 4a | 48.015 | 8.0 | 47.548 | 6.682 | 6.130 | 1.98 | 12.137 | 35.410 |
| 5a | 30.729 | 19.0 | 29.055 | 10.004 | 3.920 | 1.98 | 7.762 | 21.293 |
| 6a | 4.365 | 30.5 | 3.761 | 2.215 | 1.105 | 0.99 | 1.094 | 2.667 |
| | | | 1046.07 | 391.021 | | | | 820.458 |

$$F = \frac{[(1.4 \times 18.24) + (820.458 \times \tan 37)]}{391.021} = 1.646$$

4.4.3 Sudut Kemiringan Lereng 45°

$$\text{Panjang } \overline{AC} = \frac{\angle AOC}{360} \times 2\pi R = \frac{84}{360} \times 2\pi 10.44 = 15.3 \text{ m}$$

Perhitungan berat $W_i = \text{volume irisan} \times \text{berat volume tanah} (\gamma)$ sedang untuk tanah yang terendam air perhitungan berat $W_i = \text{volume irisan} \times \text{berat volume tanah terendam air} (\gamma')$.

Perhitungan berat air (u_i) = volume irisan terendam air x berat volume air (γ_w), dengan $\gamma_w = 9,81 \text{ kN/m}^3$.

Perhitungan selanjutnya dipresentasikan dalam tabel 4.8.

Tabel 4.8 Perhitungan stabilitas lereng dengan sudut 45°

| Irisan no | Berat W_i (KN) | Sudut θ | $W_i \cos \theta$ (KN) | $W_i \sin \theta$ (KN) | u_i (KN) | a_i | $U_i = u_i \times a_i$ | $W_i \cos \theta - U_i$ |
|-----------|------------------|----------------|------------------------|------------------------|------------|-------|------------------------|-------------------------|
| 1 | 24.832 | -11.00 | 24.376 | -4.738 | 3.924 | 1.60 | 6.278 | 18.097 |
| 2 | 74.496 | -3.00 | 74.394 | -3.899 | 11.770 | 1.60 | 18.832 | 55.562 |
| 3 | 127.264 | 6.00 | 126.567 | 13.303 | 20.111 | 1.60 | 32.177 | 94.390 |
| 4 | 184.532 | 16.00 | 177.384 | 50.864 | 19.620 | 1.64 | 32.177 | 145.207 |
| 5 | 177.566 | 26.00 | 159.595 | 77.840 | 16.675 | 1.64 | 27.347 | 132.248 |
| 6 | 180.395 | 36.00 | 145.943 | 106.034 | 12.260 | 2.00 | 24.520 | 121.423 |
| 7 | 142.532 | 49.00 | 93.509 | 107.570 | 5.396 | 2.37 | 12.777 | 80.733 |
| 8 | 49.265 | 61.00 | 23.884 | 43.088 | 0.000 | 2.37 | 0.000 | 23.884 |
| 1a | 6.363 | -11.00 | 6.246 | -1.214 | 0.981 | 1.64 | 1.609 | 4.637 |
| 2a | 12.726 | -3.00 | 12.709 | -0.666 | 1.962 | 1.64 | 3.218 | 9.491 |
| 3a | 12.726 | 6.00 | 12.656 | 1.330 | 1.962 | 1.64 | 3.218 | 9.439 |
| 4a | 1.649 | 16.00 | 1.585 | 0.455 | 0.385 | 0.82 | 0.316 | 1.269 |
| | | | 858.848 | 379.966 | | | | 696.380 |

$$F = \frac{[(1.4 \times 15.3) + (696.38 \times \tan 37)]}{379.986} = 1.4413$$

4.4.4 Sudut Kemiringan Lereng 60°

$$\text{Panjang } \overline{AC} = \frac{\angle AOC}{360} \times 2\pi R = \frac{80}{360} \times 2\pi 9.12 = 13.05 \text{ m}$$

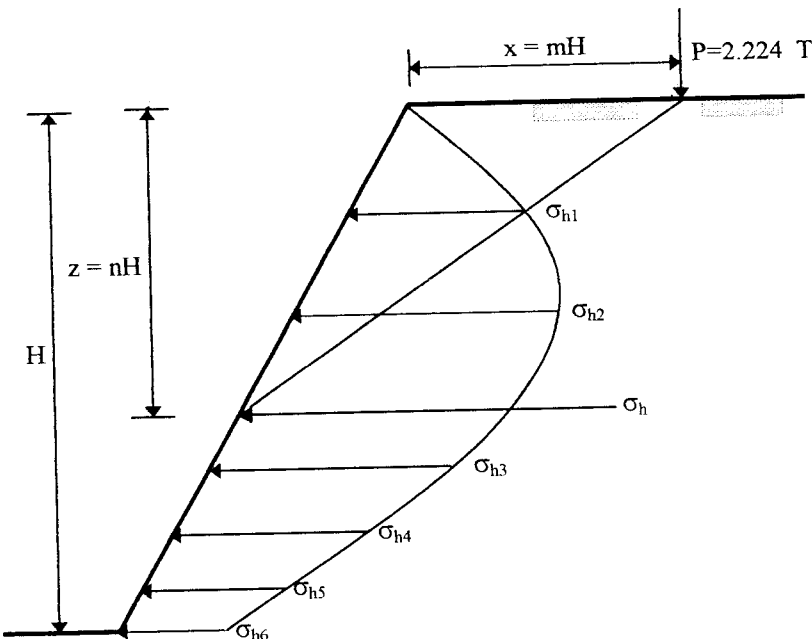
Tabel 4.9 Perhitungan stabilitas lereng dengan sudut 60°

| Irisan no | Berat W_i (KN) | Sudut θ | $W_i \cos \theta$ (KN) | $W_i \sin \theta$ (KN) | u_i (KN) | a_i | $U_i = u_i x / a_i$ | $W_i \cos \theta - U_i$ |
|-----------|------------------|----------------|------------------------|------------------------|------------|-------|---------------------|-------------------------|
| 1 | 37.830 | -5.00 | 37.686 | -3.297 | 6.377 | 1.50 | 9.565 | 28.121 |
| 2 | 113.490 | 4.00 | 113.214 | 7.917 | 19.130 | 1.50 | 28.695 | 84.519 |
| 3 | 181.990 | 14.50 | 176.193 | 45.567 | 19.130 | 1.59 | 30.417 | 145.776 |
| 4 | 180.968 | 25.00 | 164.013 | 76.480 | 16.675 | 1.59 | 26.513 | 137.499 |
| 5 | 193.523 | 35.00 | 158.525 | 111.000 | 12.750 | 1.91 | 24.353 | 134.172 |
| 6 | 138.430 | 49.00 | 90.818 | 104.474 | 5.885 | 2.23 | 13.124 | 77.695 |
| 7 | 73.330 | 62.50 | 33.860 | 65.045 | 0.000 | 2.70 | 0.000 | 33.860 |
| 1a | 4.394 | -5.00 | 4.377 | -0.383 | 0.735 | 1.51 | 1.110 | 3.267 |
| 2a | 5.859 | 4.00 | 5.845 | 0.409 | 0.980 | 1.51 | 1.480 | 4.365 |
| | | | 784.531 | 387.212 | | | | 649.275 |

$$F = \frac{[(1.4 \times 13.05) + (649.275 \times \tan 37)]}{387.212} = 1.31$$

4.5 Desain Perkuatan Lereng Dengan Geotekstil

4.5.1 Tegangan Lateral Akibat Beban Titik



Gambar 4.11 Tekanan Tanah pada Dinding akibat Beban Titik

Bila $m \leq 0,4$ maka

$$\sigma_h = \frac{0,28P}{H^2} \frac{n^2}{(0,16 + n^2)^3}$$

dengan:

σ_h = tekanan tanah lateral (t/m^2)

P = beban (ton)

$m = x/H$

$n = z/H$

x = jarak tepi atas lereng terhadap beban pondasi

z = tinjauan jarak tekanan tanah lateral dari muka tanah

maka didapat,

$$\sigma_{h1} = \frac{0,28 \times 2,224}{6^2} \frac{0,16^2}{(0,16 + 0,16^2)^3} = 0,068 \text{ } t/m^2$$

$$\sigma_{h2} = \frac{0,28 \times 2,224}{6^2} \frac{0,33^2}{(0,16 + 0,33^2)^3} = 0,095 \text{ } t/m^2$$

$$\sigma_{h3} = \frac{0,28 \times 2,224}{6^2} \frac{0,5^2}{(0,16 + 0,5^2)^3} = 0,06 \text{ } t/m^2$$

$$\sigma_{h4} = \frac{0,28 \times 2,224}{6^2} \frac{0,667^2}{(0,16 + 0,667^2)^3} = 0,034 \text{ } t/m^2$$

$$\sigma_{h5} = \frac{0,28 \times 2,224}{6^2} \frac{0,83^2}{(0,16 + 0,83^2)^3} = 0,019 \text{ } t/m^2$$

$$\sigma_{h6} = \frac{0,28 \times 2,224}{6^2} \frac{1,0^2}{(0,16 + 1,0^2)^3} = 0,011 \text{ } t/m^2$$

Didapat $\sum \sigma_h = 0,287 \text{ } t/m^2$

- b. Stabilitas terhadap gaya geser

$$Sf_s = \sum \frac{\text{gaya menahan}}{\text{gaya dorong}}$$

$$Sf_s = \frac{\left(c + \left(\frac{W_1 + W_2}{l} \right) \tan \phi \right) l}{P_a + P_t}$$

$$Sf_s = \frac{\left(1,4 + \left(\frac{16,005}{3,5} \right) \tan 37 \right) 3,5}{7,2657 + 0} = 2,334 > 1,5 \text{ aman}$$

4.5.4 Perencanaan Lapisan Geotekstil Pada Tanah Miring Dengan Sudut Lereng 60° Dengan Diberi Beban

Dalam Analisis perencanaan digunakan data-data sebagai berikut :

a. Tanah

- Tanah Homogen
- Sudut Gesek Dalam (ϕ) = 37°
- Kohesi Tanah (c) = 1,4 t/m²
- Berat Volume Tanah (γ) = 1,94 t/m³

b. Geotekstil

Geotekstil yang digunakan dalam perencanaan ini adalah geotekstil jenis woven dengan spesifikasi sebagai berikut:

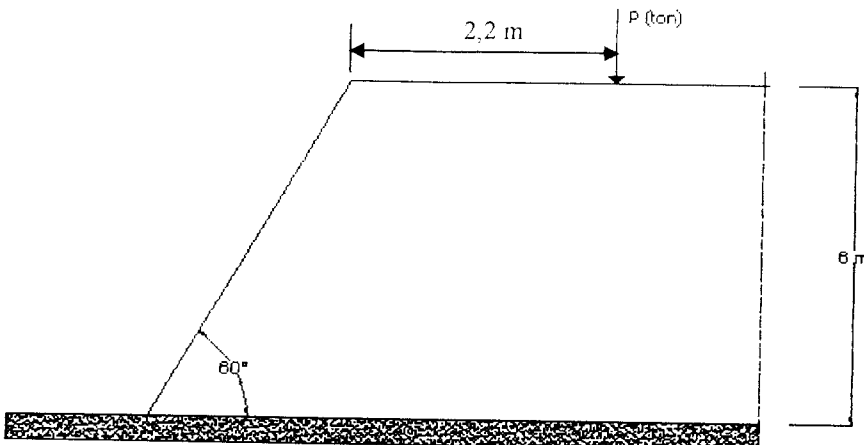
- Geotekstil *Woven Multitex* dengan tegangan tarik ijin = 4,01 ton

c. Dimensi Perencanaan :

- Tinggi Lereng (H) = 6 m

- Beban titik (P) = 2,224 T
- Lereng dengan kemiringan (β) = 60°

Penyelesaian :



Gambar 4.16 Perencanaan Lapisan Geotekstil Pada Tanah Miring sudut 60° Dengan Diberi Beban

1. Tinjauan terhadap stabilitas gaya internal

a. Tekanan Tanah Aktif

$$K_a = \tan^2(45 - \frac{\phi}{2})$$

$$K_a = \tan^2(45 - \frac{37}{2}) = 0,248$$

$$\sigma_h = k_a \cdot \gamma \cdot z + \frac{0,28P}{H^2} \frac{n^2}{(0,16 + n^2)^3}$$

$$\sigma_h = 0,248 \times 1,94 \times z_1 + 0,248 \times 0,95 \times z_2 + 0,077$$

$$\sigma_h = 0,481z_1 + 0,236z_2 + 0,077$$

2. Tinjauan terhadap stabilitas eksternal

a. Stabilitas terhadap bahaya guling

$$P_a = 0,5 \cdot \gamma_b \cdot H^2 \cdot k_a - 2 \cdot c \cdot \sqrt{k_a}$$